



Institut
Mines-Telecom

Méthode de Stein fonctionnelle

L. Decreusefond

Journées MAS





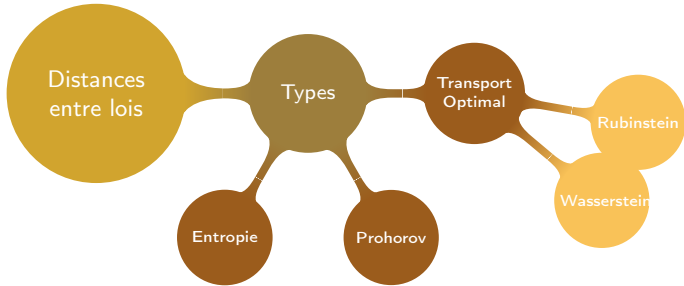
Bibliographie

Méthode de Stein fonctionnelle

- ▶ L. Coutin and L. Decreusefond, "Stein's method for Brownian approximations," Communications on Stochastic Analysis, vol. 7, no. 3, pp. 349–372, Sep. 2013.<http://de.arxiv.org/abs/1207.3517>
- ▶ L. Coutin and L. Decreusefond, "Higher order expansions via Stein's method," Communications on Stochastic Analysis, 2014.<http://de.arxiv.org/abs/1405.0235>
- ▶ L. Decreusefond, M. Schulte and C. Thäle, "Functional Poisson approximation with applications in stochastic geometry", <http://de.arxiv.org/abs/1406.5484>

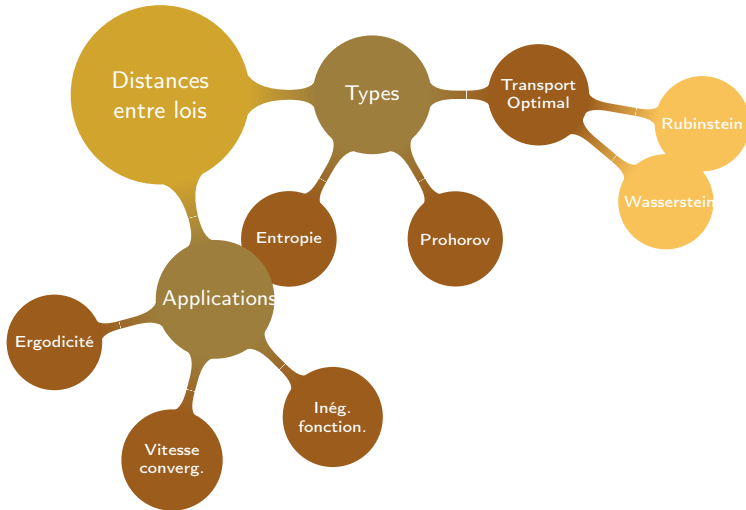


Roadmap



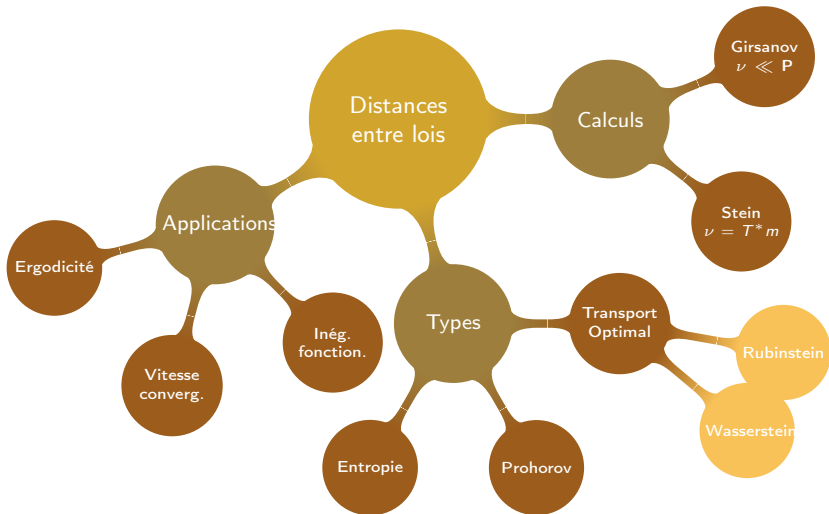


Roadmap



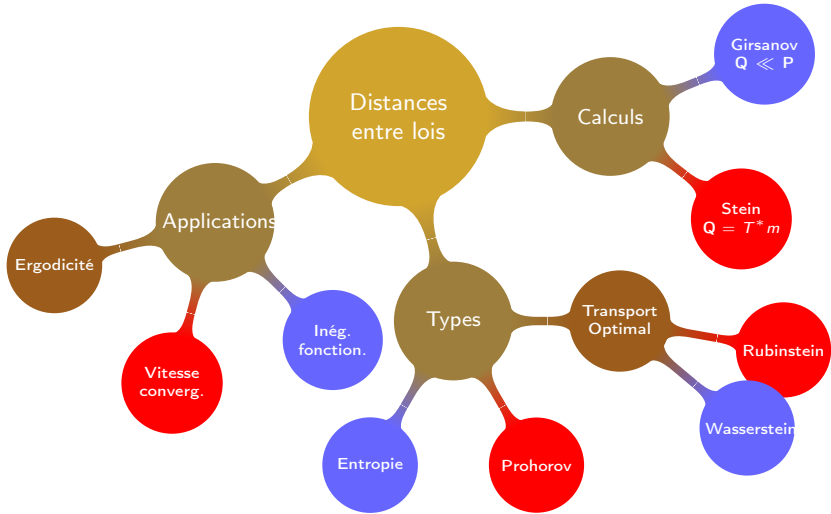


Roadmap





Roadmap





f-divergence

Définition

f convexe telle que $f(1) = 0$

$$D_f(\mathbf{Q} \parallel \mathbf{P}) = \int f\left(\frac{d\mathbf{Q}}{d\mathbf{P}}\right) d\mathbf{P}$$

Exemples

Kullback-Leibler $f(t) = t \ln t$

Hellinger $f(t) = (\sqrt{t} - 1)^2$

Variation totale $f(t) = |t - 1|$

Optimisation sur l'espace des mesures

- ▶ X et Y deux espaces Polonais
- ▶ $c : X \times Y \rightarrow \mathbf{R}^+ \cup \{+\infty\}$ s.c.i.
- ▶ \mathbf{P} = mesure de proba. sur X
- ▶ \mathbf{Q} = mesure de proba. sur Y
- ▶ Distance associée

$$\mathfrak{T}_c(\mathbf{P}, \mathbf{Q}) = \inf_{\gamma \in \Sigma(\mathbf{P}, \mathbf{Q})} \int_{X \times Y} c(x, y) \, d\gamma(x, y).$$



Exemples

Wasserstein

- ▶ $X = Y = \mathbb{R}^n$, $c(x, y) = \frac{1}{2}|x - y|^2$.



Exemples

Wasserstein

- ▶ $X = Y = \mathbf{R}^n$, $c(x, y) = \frac{1}{2}|x - y|^2$.
- ▶ $X = Y = \mathcal{C}_0([0, 1], \mathbf{R}^d)$, $c(x, y) = \frac{1}{2}|x - y|_H^2$ avec
 $H = W^{1,2}([0, 1])$.

Rubinstein

$$X = Y = \mathbf{R}^n, c(x, y) = |x - y|$$

Exemples

Wasserstein

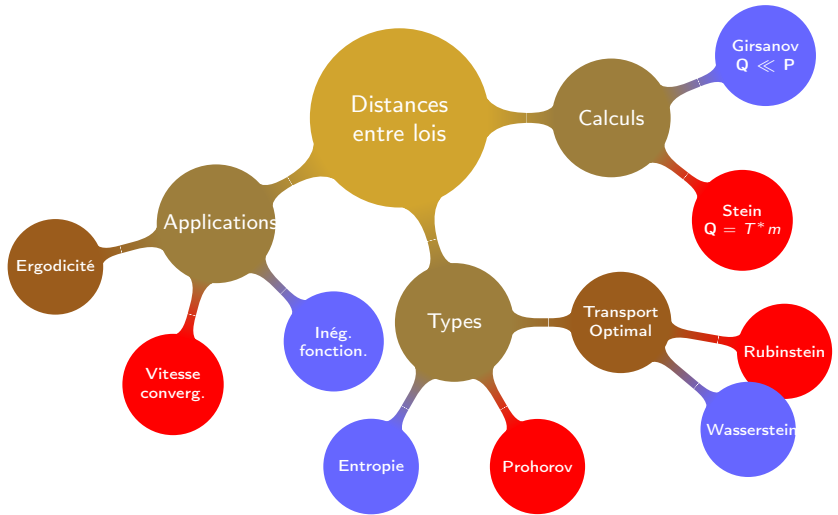
- ▶ $X = Y = \mathbf{R}^n$, $c(x, y) = \frac{1}{2}|x - y|^2$.
- ▶ $X = Y = \mathcal{C}_0([0, 1], \mathbf{R}^d)$, $c(x, y) = \frac{1}{2}|x - y|_H^2$ avec $H = W^{1,2}([0, 1])$.

Rubinstein

$$X = Y = \mathbf{R}^n, c(x, y) = |x - y|$$

Hamming

$$X = Y = \{0, 1\}^n, c(x, y) = \sum_{j=1}^n \mathbf{1}_{x_j \neq y_j}$$





Inégalité HWI

H-W-I

Entropie (H) $H_{\mathbf{P}}(\mathbf{Q}) = \mathbf{E}_{\mathbf{P}} [L \log L]$ avec $L = d\mathbf{Q}/d\mathbf{P}$



Inégalité HWI

H-W-I

Entropie (H) $H_{\mathbf{P}}(\mathbf{Q}) = \mathbf{E}_{\mathbf{P}} [L \log L]$ avec $L = d\mathbf{Q}/d\mathbf{P}$

Wasserstein (W) $W_2(\mathbf{P}, \mathbf{Q}) = \mathfrak{T}_{\|\cdot\|^2/2}(\mathbf{P}, \mathbf{Q})$



Inégalité HWI

H-W-I

Entropie (H) $H_{\mathbf{P}}(\mathbf{Q}) = \mathbf{E}_{\mathbf{P}} [L \log L]$ avec $L = d\mathbf{Q}/d\mathbf{P}$

Wasserstein (W) $W_2(\mathbf{P}, \mathbf{Q}) = \mathfrak{T}_{\|\cdot\|^2/2}(\mathbf{P}, \mathbf{Q})$

Information de Fischer (I) $I_{\mathbf{P}}(\mathbf{Q}) = \mathbf{E}_{\mathbf{Q}} [|\nabla \log L|^2]$

Inégalité HWI

H-W-I

Entropie (H) $H_{\mathbf{P}}(\mathbf{Q}) = \mathbf{E}_{\mathbf{P}} [L \log L]$ avec $L = d\mathbf{Q}/d\mathbf{P}$

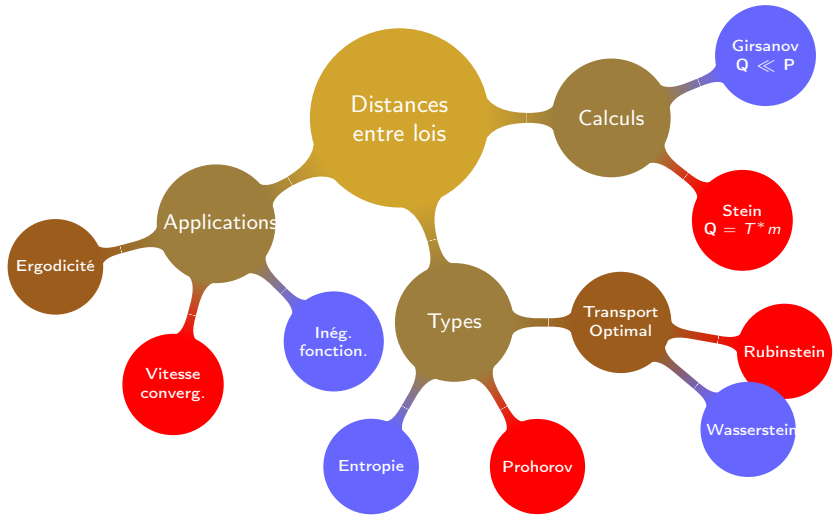
Wasserstein (W) $W_2(\mathbf{P}, \mathbf{Q}) = \mathfrak{T}_{\|\cdot\|^2/2}(\mathbf{P}, \mathbf{Q})$

Information de Fischer (I) $I_{\mathbf{P}}(\mathbf{Q}) = \mathbf{E}_{\mathbf{Q}} [|\nabla \log L|^2]$

Inégalité (cf. Villani)

Si \mathbf{P} et \mathbf{Q} admettent une variance (sur \mathbb{R}^n) et $\mathbf{P} = \exp(-V) dx$
avec $\nabla^2 V \geq K \text{Id}_n$

$$H_{\mathbf{P}}(\mathbf{Q}) \leq W_2(\mathbf{P}, \mathbf{Q}) \sqrt{I_{\mathbf{P}}(\mathbf{Q})} - \frac{K}{2} W_2(\mathbf{P}, \mathbf{Q})^2$$





Distance de Prohorov

ϵ -voisinage

(E, d) espace métrique

$$A^\epsilon = \{y \in E, \exists x \in A, d(x, y) \leq \epsilon\}$$

Définition (Distance de Prohorov)

$$\text{Dist}_{\text{Pro}}(\mathbf{P}, \mathbf{Q}) = \inf \left\{ \epsilon > 0, \mathbf{P}(A) \leq \mathbf{Q}(A^\epsilon) + \epsilon \text{ pour tout } A \in \mathfrak{B}(E) \right\}$$

Distance de Prohorov

ϵ -voisinage

(E, d) espace métrique

$$A^\epsilon = \{y \in E, \exists x \in A, d(x, y) \leq \epsilon\}$$

Definition (Distance de Prohorov)

$$\text{Dist}_{\text{Pro}}(\mathbf{P}, \mathbf{Q}) = \inf \left\{ \epsilon > 0, \mathbf{P}(A) \leq \mathbf{Q}(A^\epsilon) + \epsilon \text{ pour tout } A \in \mathfrak{B}(E) \right\}$$

Topologie de la convergence en loi

Si (E, d) séparable alors

$$(\mathbf{P}_n \Rightarrow \mathbf{P}) \iff (\text{Dist}_{\text{Pro}}(\mathbf{P}_n, \mathbf{P}) \xrightarrow{n \rightarrow \infty} 0)$$

Distance de Rubinstein

Théorème (Kantorovitch-Rubinstein)

Si c est une distance,

$$\begin{aligned}\mathfrak{T}_c(\mathbf{P}, \mathbf{Q}) &= \inf_{\gamma \in \Sigma(\mathbf{P}, \mathbf{Q})} \int_{E \times E} c(x, y) d\gamma(x, y) \\ &= \sup_{F \in c-\text{Lip}_1} (\mathbf{E}_{\mathbf{P}}[F] - \mathbf{E}_{\mathbf{Q}}[F])\end{aligned}$$

où

$$F \in c-\text{Lip}_1 \iff |F(x) - F(y)| \leq c(x, y)$$

Distance de Rubinstein

Théorème (Kantorovitch-Rubinstein)

Si c est une distance,

$$\begin{aligned}\mathfrak{T}_c(\mathbf{P}, \mathbf{Q}) &= \inf_{\gamma \in \Sigma(\mathbf{P}, \mathbf{Q})} \int_{E \times E} c(x, y) d\gamma(x, y) \\ &= \sup_{F \in c-\text{Lip}_1} (\mathbf{E}_{\mathbf{P}}[F] - \mathbf{E}_{\mathbf{Q}}[F])\end{aligned}$$

où

$$F \in c-\text{Lip}_1 \iff |F(x) - F(y)| \leq c(x, y)$$

Théorème (cf. Dudley)

Si (E, c) est séparable, il y a équivalence entre

- ▶ \mathbf{P}_n converge en loi vers \mathbf{P}
- ▶ $\text{Dist}_{\text{Pro}}(\mathbf{P}_n, \mathbf{P}) \xrightarrow{n \rightarrow \infty} 0$
- ▶ $\mathfrak{T}_c(\mathbf{P}_n, \mathbf{P}) \xrightarrow{n \rightarrow \infty} 0$



Autres distances

Remarque

$$\sup_{F \in c\text{-Lip}_1} (\mathsf{E}_P[F] - \mathsf{E}_Q[F])$$

Autres distances

Remarque

$$\sup_{F \in c\text{-Lip}_1} |\mathbf{E}_P[F] - \mathbf{E}_Q[F]|$$



Autres distances

Remarque

$$\sup_{F=1_{]-\infty, x]}} |\mathbf{E}_P[F] - \mathbf{E}_Q[F]|$$

Remarque

$$\sup_{F=\mathbf{1}_{]-\infty, x]}} |\mathbf{E}_P[F] - \mathbf{E}_Q[F]| = \text{dist}_{\text{TV}}(P, Q)$$

Autres distances

Remarque

$$\sup_{F \in \mathbf{1}_{]-\infty, x]}} |\mathsf{E}_P[F] - \mathsf{E}_Q[F]| = \text{dist}_{\text{TV}}(P, Q)$$

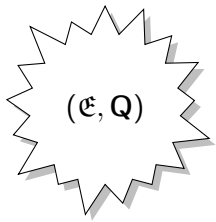
Plus généralement

$$\text{dist}_{\mathcal{F}}(P, Q) = \sup_{F \in \mathcal{F}, x \in \mathbf{R}} |\mathsf{E}_P[F] - \mathsf{E}_Q[F]|$$



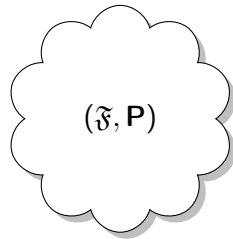
Situation générique

Espace initial



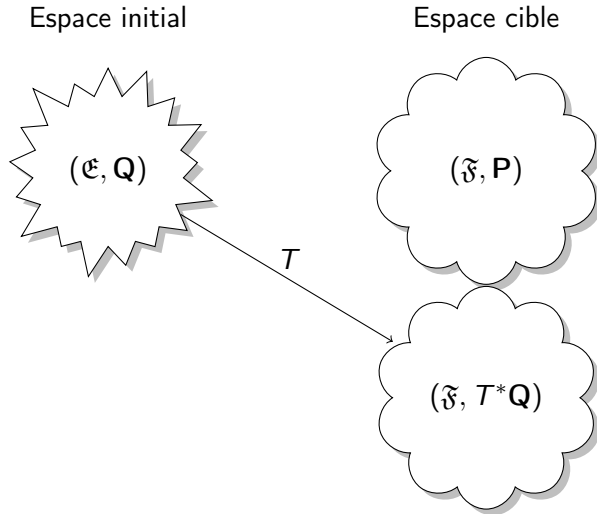
(\mathfrak{E}, Q)

Espace cible



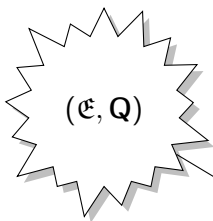
(\mathfrak{F}, P)

Situation générique



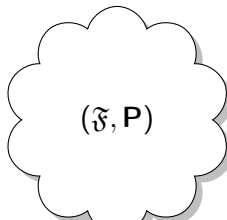
Situation générée

Espace initial



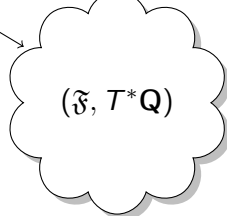
$$(\mathfrak{E}, Q)$$

Espace cible



$$(\mathfrak{F}, P)$$

T



$$(\mathfrak{F}, T^*Q)$$

$$\text{dist}_{\mathcal{F}}(T^*Q, P) ?$$

Historique (partiel)

- ▶ Stein ('72) : approximation gaussienne

Historique (partiel)

- ▶ Stein ('72) : approximation gaussienne
- ▶ Chen ('73) : approximation Poisson

Historique (partiel)

- ▶ Stein ('72) : approximation gaussienne
- ▶ Chen ('73) : approximation Poisson
- ▶ Barbour : extensions au Poisson composé, au mouvement brownien, ...

Historique (partiel)

- ▶ Stein ('72) : approximation gaussienne
- ▶ Chen ('73) : approximation Poisson
- ▶ Barbour : extensions au Poisson composé, au mouvement brownien, ...
- ▶ Nourdin-Peccati ('05) : introduction du calcul de Malliavin (thm. du 4ème moment)

Historique (partiel)

- ▶ Stein ('72) : approximation gaussienne
- ▶ Chen ('73) : approximation Poisson
- ▶ Barbour : extensions au Poisson composé, au mouvement brownien, ...
- ▶ Nourdin-Peccati ('05) : introduction du calcul de Malliavin (thm. du 4ème moment)
- ▶ Multitude d'applications : CLT, Berry-Esseen, log-itéré, géométrie stochastique, probabilités libres, variétés, dimension infinie, développement d'Edgeworth

Historique (partiel)

- ▶ Stein ('72) : approximation gaussienne
- ▶ Chen ('73) : approximation Poisson
- ▶ Barbour : extensions au Poisson composé, au mouvement brownien, ...
- ▶ Nourdin-Peccati ('05) : introduction du calcul de Malliavin (thm. du 4ème moment)
- ▶ Multitude d'applications : CLT, Berry-Esseen, log-itéré, géométrie stochastique, probabilités libres, variétés, dimension infinie, développement d'Edgeworth
- ▶ <https://sites.google.com/site/malliavinstein/home>

Convergence en loi

$$\frac{1}{\sqrt{\lambda}}(\text{Poisson}(\lambda) - \lambda) \xrightarrow{\lambda \rightarrow \infty} \mathcal{N}(0, 1)$$

Convergence en loi

$$\frac{1}{\sqrt{\lambda}}(\text{Poisson}(\lambda) - \lambda) \xrightarrow{\lambda \rightarrow \infty} \mathcal{N}(0, 1)$$

Formalisme

- ▶ $\mathfrak{E} = \mathbb{N}$, $\mathbf{Q} = \text{mesure de Poisson } (\lambda)$
- ▶ $\mathfrak{F} = \mathbb{R}$, $\mathbf{P} = \text{Loi}(\mathcal{N}(0, 1))$

Convergence en loi

$$\frac{1}{\sqrt{\lambda}}(\text{Poisson}(\lambda) - \lambda) \xrightarrow{\lambda \rightarrow \infty} \mathcal{N}(0, 1)$$

Formalisme

- ▶ $\mathfrak{E} = \mathbb{N}$, $\mathbf{Q} = \text{mesure de Poisson } (\lambda)$
- ▶ $\mathfrak{F} = \mathbb{R}$, $\mathbf{P} = \text{Loi}(\mathcal{N}(0, 1))$
- ▶ $T(n) = (n - \lambda)/\sqrt{\lambda}$

Théorème de Donsker

Convergence en loi

$$B_m^\sharp(t) = \frac{1}{\sqrt{m}} \left(\sum_{j=1}^{[mt]} X_j + (mt - [mt])X_{[mt+1]} \right) \xrightarrow{m \rightarrow \infty} \text{MB}(t)$$

Formalisme

- ▶ $\mathfrak{E} = \{-1, 1\}^{\mathbb{N}}$, $\mathbf{Q} = (1/2\epsilon_{-1} + 1/2\epsilon_1)^{\otimes \mathbb{N}}$

Convergence en loi

$$B_m^\sharp(t) = \frac{1}{\sqrt{m}} \left(\sum_{j=1}^{[mt]} X_j + (mt - [mt])X_{[mt+1]} \right) \xrightarrow{m \rightarrow \infty} \text{MB}(t)$$

Formalisme

- ▶ $\mathfrak{E} = \{-1, 1\}^{\mathbb{N}}$, $\mathbf{Q} = (1/2\epsilon_{-1} + 1/2\epsilon_1)^{\otimes \mathbb{N}}$
- ▶ $\mathfrak{F} = \mathcal{C}_0([0, 1], \mathbf{R})$, \mathbf{P} = Mesure de Wiener



Premier ingrédient (espace cible)

Caractérisation de la loi gaussienne

$$Z \sim \mathcal{N}(0, 1) \iff \mathbf{E} [Z F(Z) - F'(Z)] = 0, \quad \forall F \in \mathcal{C}_b^1$$



Premier ingrédient (espace cible)

Caractérisation de la loi gaussienne

$$Z \sim \mathcal{N}(0, 1) \iff \mathbf{E} [Z F(Z) - F'(Z)] = 0, \quad \forall F \in \mathcal{C}_b^1$$

Idée de Stein

$$Z F(Z) - F'(Z) \simeq 0 \implies Z \simeq \mathcal{N}(0, 1)$$



Equation de Stein

Definition

$$\forall H \in \text{Lip}_1, \exists F \text{ s.t. } H(x) - \mathbf{E}[H(\mathcal{N}(0, 1))] = x F(x) - F'(x)$$



Equation de Stein

Definition

$$\forall H \in \text{Lip}_1, \exists F \text{ s.t. } H(x) - \mathbf{E}[H(\mathcal{N}(0, 1))] = x F(x) - F'(x)$$

Théorème

Il existe F , qui plus est, $F \in \mathcal{C}_b^2$

$$\|F'\|_\infty \leq 1, \|F''\|_\infty \leq 2$$

Equation de Stein

Definition

$$\forall H \in \text{Lip}_1, \exists? F \text{ s.t. } H(x) - \mathbf{E}[H(\mathcal{N}(0, 1))] = xF(x) - F'(x)$$

Théorème

Il existe F , qui plus est, $F \in \mathcal{C}_b^2$

$$\|F'\|_\infty \leq 1, \|F''\|_\infty \leq 2$$

Formule de représentation de Stein

$$\begin{aligned} & \sup_{H \in \text{Lip}_1} \int H \, d\mathbf{P} - \mathbf{E}[H(\mathcal{N}(0, 1))] \\ &= \sup_{F: \|F'\|_\infty \leq 1, \|F''\|_\infty \leq 2} \int x.F(x) - F'(x) \, d\mathbf{P}(x) \end{aligned}$$

Application

Convergence en loi

$$\frac{1}{\sqrt{\lambda}}(\text{Poisson}(\lambda) - \lambda) \xrightarrow{\lambda \rightarrow \infty} \mathcal{N}(0, 1)$$

Formalisme

- $\mathfrak{E} = \mathbb{N}$, $\mathbf{Q} = \text{mesure de Poisson } (\lambda)$
- $\mathfrak{F} = \mathbb{R}$, $\mathbf{P} = \text{Loi}(\mathcal{N}(0, 1))$
- $T(n) = (n - \lambda)/\sqrt{\lambda}$

Convergence pour la distance de Rubinstein

$$\text{dist}_R \left(\frac{1}{\sqrt{\lambda}}(\text{Poisson}(\lambda) - \lambda), \mathcal{N}(0, 1) \right) \leq \frac{1}{\sqrt{\lambda}}$$



Deuxième ingrédient (espace initial)

Rappel

Pour $X \sim \text{Poisson}(\lambda)$,

$$\lambda \mathbf{E}[F(X+1)] = \mathbf{E}[X F(X)]$$

Intégration par parties

Soit $X \sim \text{Poisson}(\lambda)$ and $\tilde{X} = (X - \lambda)/\sqrt{\lambda}$

$$\mathbf{E}[\tilde{X} F(\tilde{X})] = \sqrt{\lambda} \mathbf{E}\left[F(\tilde{X} + 1/\sqrt{\lambda}) - F(\tilde{X})\right]$$



Troisième ingrédient (deux espaces)

Pseudo commutation des « gradients »

D'après la formule de Taylor

$$F(\tilde{X} + 1/\sqrt{\lambda}) - F(\tilde{X}) = \frac{1}{\sqrt{\lambda}} F'(\tilde{X}) + \frac{1}{2\lambda} F''(\tilde{X} + \theta/\sqrt{\lambda})$$

$$\begin{aligned}
& \text{dist}_R \left(\frac{1}{\sqrt{\lambda}}(\text{Poisson}(\lambda) - \lambda), \mathcal{N}(0, 1) \right) \\
&= \sup_{H \in \text{Lip}_1} \mathbf{E} \left[H(\tilde{X}) - H(\mathcal{N}(0, 1)) \right] \\
&\leq \sup_{F: \|F'\|_\infty \leq 1, \|F''\|_\infty \leq 2} \mathbf{E} \left[\tilde{X}F(\tilde{X}) - F'(\tilde{X}) \right] \\
&= \sup_{F...} \mathbf{E} \left[\sqrt{\lambda}(F(\tilde{X} + 1/\sqrt{\lambda}) - F(\tilde{X})) - F'(\tilde{X}) \right]
\end{aligned}$$

D'après la formule de Taylor

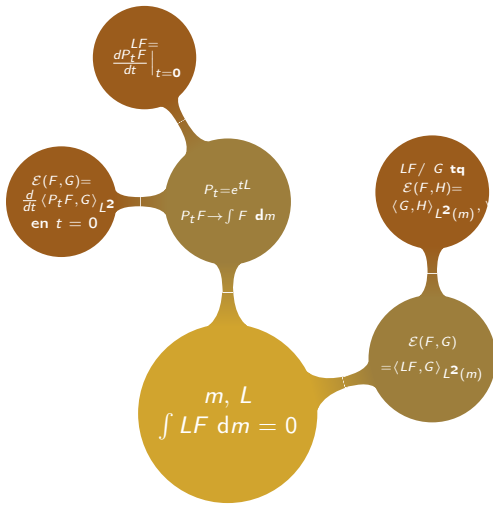
$$F(\tilde{X} + 1/\sqrt{\lambda}) - F(\tilde{X}) = \frac{1}{\sqrt{\lambda}}F'(\tilde{X}) + \frac{1}{2\lambda}F''(\tilde{X} + \theta/\sqrt{\lambda})$$

Conclusion

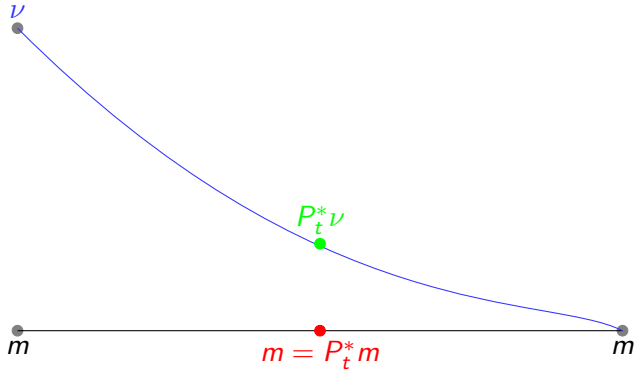
$$\text{dist}_R \left(\frac{1}{\sqrt{\lambda}}(\text{Poisson}(\lambda) - \lambda), \mathcal{N}(0, 1) \right) \leq \frac{1}{\sqrt{\lambda}}$$



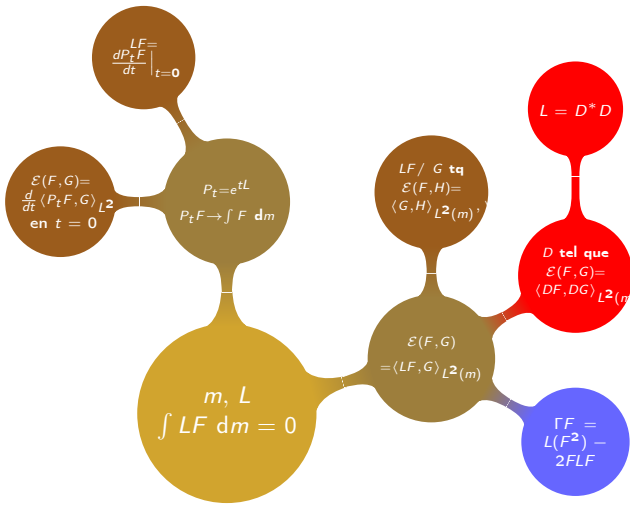
Structure de Dirichlet



Caractérisation de la loi cible



Structure de Dirichlet-Malliavin



Exemple

Mesure gaussienne sur \mathbb{R}^n

- ▶ $\mathfrak{F} = \mathbb{R}^n$, \mathbf{P} =Gaussienne
- ▶ $LF(x) = x \cdot \nabla F(x) - \Delta F(x)$
- ▶ X =processus Ornstein-Uhlenbeck

$$dX(t) = -X(t)dt + \sqrt{2} dB(t)$$

- ▶ Semi-groupe

$$P_t F(x) = \int_{\mathbb{R}^n} F(e^{-t}x + \sqrt{1-e^{-2t}}y) d\mathbf{P}(y)$$

- ▶ $D = \nabla$

Mesure Gaussienne sur $\mathcal{C}_0([0, 1], \mathbb{R})$

Espace de Wiener (abstrait)

- $\mathfrak{F} = \mathcal{C}_0([0, 1], \mathbb{R})$, P = mesure de Wiener
- Semi-groupe

$$P_t F(u) = \int_{\mathfrak{F}} F(e^{-t} u + \sqrt{1 - e^{-2t}} v) \, d\mathsf{P}(v)$$

- D =gradient de Malliavin défini par

$$D_t F(B_{t_1}, \dots, B_{t_n}) = \sum_{j=1}^n \partial_j F(B_{t_1}, \dots, B_{t_n}) \mathbf{1}_{[0, t_j]}(t)$$

- $LF(u) = \langle u, DF(u) \rangle_{\mathfrak{F}, \mathfrak{F}^*} - \text{trace}(D^{(2)}F)(u)$

Espace de Rademacher

Suite de Bernoulli symétrique indépendantes

- ▶ $\mathfrak{F} = \{-1, 1\}^{\mathbb{N}}, \mathbf{P} = (1/2.\epsilon_{-1} + 1/2.\epsilon_1)^{\otimes \mathbb{N}}$

- ▶ Gradient discret

$$D_k^\sharp F(X) = \frac{1}{2}(F(X_k^+) - F(X_k^-)).$$

avec

$$X_k^+ = (X_1, \dots, X_{k-1}, 1, X_{k+1} \dots)$$

and $X_k^- = (X_1, \dots, X_{k-1}, -1, X_{k+1} \dots).$

- ▶ Intégration par parties

$$\mathbf{E} \left[\sum_{k \in \mathbb{N}} u_k D_k^\sharp F(X) \right] = \mathbf{E} \left[F(X) \sum_{k \in \mathbb{N}} u_k X_k \right]$$

Formule de représentation de Stein-Dirichlet

Distance de Rubinstein entre T^*Q et P

$$P_\infty F(x) - P_0 F(x) = \int_0^\infty L P_t F(x) dt$$

Formule de représentation de Stein-Dirichlet

Distance de Rubinstein entre T^*Q et P

$$P_\infty F(x) - F(x) = \int_0^\infty L P_t F(x) dt$$

Formule de représentation de Stein-Dirichlet

Distance de Rubinstein entre T^*Q et P

$$\int_{\mathfrak{F}} F dP - F(x) = \int_0^\infty L P_t F(x) dt$$

Formule de représentation de Stein-Dirichlet

Distance de Rubinstein entre T^*Q et P

$$\int_{\mathfrak{F}} F dP - \int_{\mathfrak{F}} F(x) d(T^*Q)(x) = \int_{\mathfrak{F}} \int_0^\infty L P_t F(x) dt d(T^*Q)(x)$$

Formule de représentation de Stein-Dirichlet

Distance de Rubinstein entre T^*Q et P

$$\int_{\mathfrak{F}} F dP - \int_{\mathfrak{F}} F(x) d(T^*Q)(x) = \int_{\mathfrak{F}} \int_0^\infty L P_t F(x) dt d(T^*Q)(x)$$

IPP sur l'espace initial

$$\int_{\mathfrak{F}} F dP - \int_{\mathfrak{E}} F \circ T dQ = \int_{\mathfrak{E}} \int_0^\infty (L^P P_t^P F) \circ T dQ dt$$

Formule de représentation de Stein-Dirichlet

Distance de Rubinstein entre T^*Q et P

$$\int_{\mathfrak{F}} F dP - \int_{\mathfrak{F}} F(x) d(T^*Q)(x) = \int_{\mathfrak{F}} \int_0^\infty L P_t F(x) dt d(T^*Q)(x)$$

IPP sur l'espace initial

$$\int_{\mathfrak{F}} F dP - \int_{\mathfrak{E}} F \circ T dQ = \int_{\mathfrak{E}} \int_0^\infty D^Q((P_t^P F) \circ T) dQ dt + \text{Reste}$$

Commutation des gradients

$$\begin{aligned}\int_{\mathfrak{F}} F d\mathbf{P} - \int_{\mathfrak{E}} F \circ T d\mathbf{Q} &= \int_{\mathfrak{E}} \int_0^{\infty} D^{\mathbf{Q}}(P_t^{\mathbf{P}} F) \circ T d\mathbf{Q} dt + \text{Reste} \\ &= \int_{\mathfrak{E}} \int_0^{\infty} D^{\mathbf{P}}(P_t^{\mathbf{P}} F) \circ T d\mathbf{Q} dt \\ &\quad + \text{Reste} + \text{Reste}'\end{aligned}$$

Commutation des gradients

$$\begin{aligned}\int_{\mathfrak{F}} F d\mathbf{P} - \int_{\mathfrak{E}} F \circ T d\mathbf{Q} &= \int_{\mathfrak{E}} \int_0^{\infty} D^{\mathbf{Q}}(P_t^{\mathbf{P}} F) \circ T d\mathbf{Q} dt + \text{Reste} \\ &= \int_{\mathfrak{E}} \int_0^{\infty} D^{\mathbf{P}}(P_t^{\mathbf{P}} F) \circ T d\mathbf{Q} dt \\ &\quad + \text{Reste} + \text{Reste}'\end{aligned}$$

Interversion

$$D^{\mathbf{P}} P_t^{\mathbf{P}} F = e^{-\Phi^{\mathbf{P}}(t)} P_t^{\mathbf{P}} D^{\mathbf{P}} F$$



Théorème de Donsker

Rappel

$$B_m^\sharp(t) = \frac{1}{\sqrt{m}} \left(\sum_{j=1}^{[mt]} X_j + (mt - [mt])X_{[mt+1]} \right) \xrightarrow{m \rightarrow \infty} B(t)$$

Théorème de Donsker

Rappel

$$B_m^\sharp(t) = \frac{1}{\sqrt{m}} \left(\sum_{j=1}^{[mt]} X_j + (mt - [mt])X_{[mt+1]} \right) \xrightarrow{m \rightarrow \infty} B(t)$$

Théorème (Coutin-D. + Shih)

$$\sup_{F \in \mathcal{F}} \left| \mathbf{E} \left[F(B_m^\sharp) \right] - \mathbf{E} [F(B)] \right| \leq \frac{c}{m}$$

où $\mathcal{F} = \text{fonctions 1-lipschitziennes sur } \mathcal{C}_0([0, 1], \mathbb{R})$

Développement d'Edgeworth

$$\mathbf{E} \left[\tilde{X} F(\tilde{X}) - F'(\tilde{X}) \right] = \mathbf{E} \left[\sqrt{\lambda} (F(\tilde{X} + 1/\sqrt{\lambda}) - F(\tilde{X})) - F'(\tilde{X}) \right]$$

D'après la formule de Taylor

$$F(\tilde{X} + 1/\sqrt{\lambda}) - F(\tilde{X}) = \frac{1}{\sqrt{\lambda}} F'(\tilde{X}) + \frac{1}{2\lambda} F''(\tilde{X}) + \frac{1}{6\lambda^{3/2}} F^{(3)}(\tilde{X} + \theta/\sqrt{\lambda})$$

$$\begin{aligned} \mathbf{E} \left[\tilde{X} F(\tilde{X}) - F'(\tilde{X}) \right] &= \\ &\underbrace{\frac{1}{2\sqrt{\lambda}} \mathbf{E} \left[F''(\tilde{X}) \right]}_{\text{Term 1}} + \underbrace{\frac{1}{6\lambda} F^{(3)}(\tilde{X} + \theta/\sqrt{\lambda})}_{\text{Term 2}} \end{aligned}$$

Développement d'Edgeworth

$$\mathbf{E} \left[\tilde{X} F(\tilde{X}) - F'(\tilde{X}) \right] = \mathbf{E} \left[\sqrt{\lambda} (F(\tilde{X} + 1/\sqrt{\lambda}) - F(\tilde{X})) - F'(\tilde{X}) \right]$$

D'après la formule de Taylor

$$F(\tilde{X} + 1/\sqrt{\lambda}) - F(\tilde{X}) = \frac{1}{\sqrt{\lambda}} F'(\tilde{X}) + \frac{1}{2\lambda} F''(\tilde{X}) + \frac{1}{6\lambda^{3/2}} F^{(3)}(\tilde{X} + \theta/\sqrt{\lambda})$$

$$\begin{aligned} \mathbf{E} \left[\tilde{X} F(\tilde{X}) - F'(\tilde{X}) \right] &= \\ &\underbrace{\frac{1}{2\sqrt{\lambda}} \mathbf{E} \left[F''(\tilde{X}) \right]}_{\leq \|F^{(3)}\|_\infty} + \underbrace{\frac{1}{6\lambda} F^{(3)}(\tilde{X} + \theta/\sqrt{\lambda})}_{\leq \|F^{(3)}\|_\infty} \end{aligned}$$

Développement d'Edgeworth

$$\mathbf{E} \left[\tilde{X} F(\tilde{X}) - F'(\tilde{X}) \right] = \mathbf{E} \left[\sqrt{\lambda} (F(\tilde{X} + 1/\sqrt{\lambda}) - F(\tilde{X})) - F'(\tilde{X}) \right]$$

D'après la formule de Taylor

$$F(\tilde{X} + 1/\sqrt{\lambda}) - F(\tilde{X}) = \frac{1}{\sqrt{\lambda}} F'(\tilde{X}) + \frac{1}{2\lambda} F''(\tilde{X}) + \frac{1}{6\lambda^{3/2}} F^{(3)}(\tilde{X} + \theta/\sqrt{\lambda})$$

$$\begin{aligned} \mathbf{E} \left[\tilde{X} F(\tilde{X}) - F'(\tilde{X}) \right] &= \\ &\quad \frac{1}{2\sqrt{\lambda}} \underbrace{\mathbf{E} \left[F''(\tilde{X}) \right]}_{\approx \mathbf{E}[F''(\mathcal{N}(0, 1))] + c\lambda^{-1/2}} + \frac{1}{6\lambda} \underbrace{F^{(3)}(\tilde{X} + \theta/\sqrt{\lambda})}_{\leq \|F^{(3)}\|_\infty} \end{aligned}$$



Convergence Poisson - Brownien

$$\frac{1}{\sqrt{\lambda}} \left(N(t) - \lambda t \right) \xrightarrow{\lambda \rightarrow \infty, \delta \rightarrow 0} B(t)$$

Convergence Poisson - Brownien

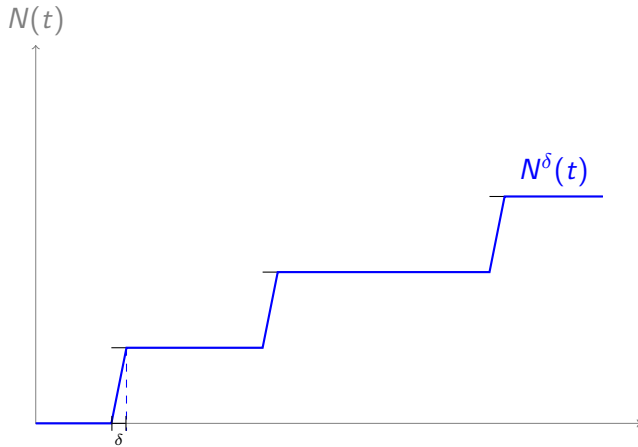
$$\frac{1}{\sqrt{\lambda}}(N(t) - \lambda t) \xrightarrow{\lambda \rightarrow \infty, \delta \rightarrow 0} B(t)$$

$N(t)$



Convergence Poisson - Brownien

$$N_\lambda(t) = \frac{1}{\sqrt{\lambda}} \left(N^\delta(t) - \lambda t \right) \xrightarrow{\lambda \rightarrow \infty, \delta \rightarrow 0} B(t)$$





Développement d'Edgeworth

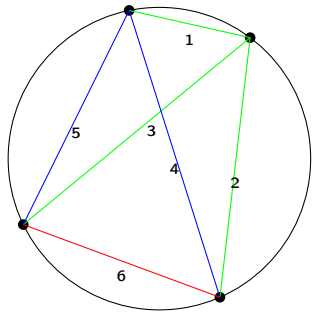
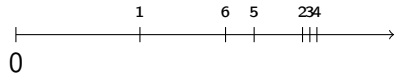
Théorème

Pour F suffisamment régulière,

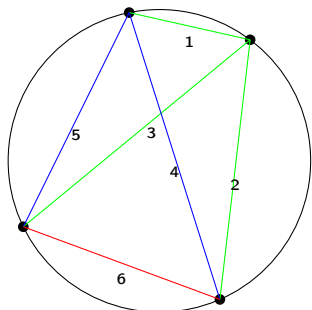
$$\begin{aligned}\mathbf{E} [F(N_\lambda)] &= \mathbf{E}_\mathbf{P} [F] + \frac{\lambda^{-1/2}}{6} \mathbf{E}_\mathbf{P} [F \mathfrak{H}_{(1)}] \\ &\quad + \lambda^{-1} \left[\frac{1}{72} \mathbf{E}_\mathbf{P} [F \mathfrak{H}_{(1,1)}] + \frac{1}{24} \mathbf{E}_\mathbf{P} [F \mathfrak{H}_{(2)}] \right] \\ &\quad + O(\delta^2, \lambda^{-3/2})\end{aligned}$$



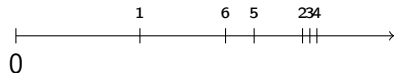
Polytopes de Poisson

 η  $\xi(\eta)$

Polytopes de Poisson



η



$\xi(\eta)$

Question

Que se passe-t-il quand le nb de points tend vers l'infini ?



Espace des configurations

Définition (Distance de Rubinstein)

$$d_R(P, Q) := \sup_{F \in \mathcal{F}} (\mathbf{E}_P[F] - \mathbf{E}_Q[F])$$

où

$$F \in \mathcal{F} \iff |F(\omega) - F(\eta)| \leq \text{dist}_{\text{TV}}(\omega, \eta)$$

Espace des configurations

Definition (Distance de Rubinstein)

$$d_R(P, Q) := \sup_{F \in \mathcal{F}} (\mathbf{E}_P[F] - \mathbf{E}_Q[F])$$

où

$$F \in \mathcal{F} \iff |F(\omega) - F(\eta)| \leq \text{dist}_{\text{TV}}(\omega, \eta)$$

Theorem (D.-Schulte-Thäle)

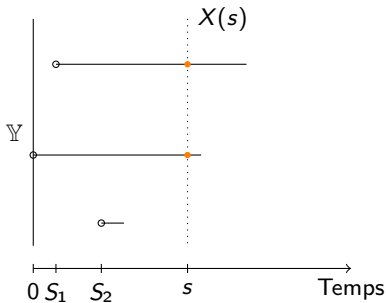
$$d_R(P_n, Q) \xrightarrow{n \rightarrow \infty} 0 \implies P_n \xrightarrow{\text{distr.}} Q$$

Théorème

$$d_R(PPP(\mathbf{M})|_{[0,a]}, \sum_{x \neq y \in \eta} \delta_{t^2 \|x-y\|}|_{[0,a]}) \leq \frac{C_a}{t}$$

où \mathbf{M} est une densité de type Weibull.

Processus de Glauber



- ▶ S_1, S_2, \dots : processus de Poisson d'intensité $\mathbf{M}(\mathbb{Y}) \, ds$
- ▶ Durée de vie : r.v. exponentielles de param. 1



That's all Folks!